

Starkniederschlagshöhen und -spenden gemäß KOSTRA-DWD-2020

Rasterfeld 149191

(Zeile 149, Spalte 191)

Regenspende und Bemessungsniederschlagswerte in Abhängigkeit von Wiederkehrzeit T und Dauerstufe D

| Dauerstufe D | | Wiederkehrzeit T | | | | | | | | | | | | | | | | | |
|--------------|-----|------------------|------------|------|------------|-------|------------|-------|------------|-------|------------|-------|------------|-------|------------|-------|------------|-------|------------|
| | | 1 a | | 2 a | | 3 a | | 5 a | | 10 a | | 20 a | | 30 a | | 50 a | | 100 a | |
| min | Std | mm | l / (s ha) | mm | l / (s ha) | mm | l / (s ha) | mm | l / (s ha) | mm | l / (s ha) | mm | l / (s ha) | mm | l / (s ha) | mm | l / (s ha) | mm | l / (s ha) |
| 5 | | 7,6 | 253,3 | 9,6 | 320,0 | 10,9 | 363,3 | 12,5 | 416,7 | 14,9 | 496,7 | 17,4 | 580,0 | 19,0 | 633,3 | 21,1 | 703,3 | 24,1 | 803,3 |
| 10 | | 9,8 | 163,3 | 12,5 | 208,3 | 14,1 | 235,0 | 16,2 | 270,0 | 19,3 | 321,7 | 22,4 | 373,3 | 24,5 | 408,3 | 27,2 | 453,3 | 31,1 | 518,3 |
| 15 | | 11,2 | 124,4 | 14,2 | 157,8 | 16,1 | 178,9 | 18,5 | 205,6 | 22,0 | 244,4 | 25,6 | 284,4 | 28,0 | 311,1 | 31,1 | 345,6 | 35,6 | 395,6 |
| 20 | | 12,3 | 102,5 | 15,6 | 130,0 | 17,6 | 146,7 | 20,3 | 169,2 | 24,1 | 200,8 | 28,1 | 234,2 | 30,7 | 255,8 | 34,1 | 284,2 | 38,9 | 324,2 |
| 30 | | 13,9 | 77,2 | 17,6 | 97,8 | 19,9 | 110,6 | 22,9 | 127,2 | 27,3 | 151,7 | 31,8 | 176,7 | 34,7 | 192,8 | 38,5 | 213,9 | 44,0 | 244,4 |
| 45 | | 15,7 | 58,1 | 19,9 | 73,7 | 22,5 | 83,3 | 25,8 | 95,6 | 30,7 | 113,7 | 35,8 | 132,6 | 39,1 | 144,8 | 43,4 | 160,7 | 49,6 | 183,7 |
| 60 | 1 | 17,0 | 47,2 | 21,6 | 60,0 | 24,4 | 67,8 | 28,1 | 78,1 | 33,4 | 92,8 | 38,9 | 108,1 | 42,5 | 118,1 | 47,2 | 131,1 | 53,9 | 149,7 |
| 90 | 1,5 | 19,1 | 35,4 | 24,2 | 44,8 | 27,4 | 50,7 | 31,5 | 58,3 | 37,5 | 69,4 | 43,6 | 80,7 | 47,6 | 88,1 | 52,9 | 98,0 | 60,5 | 112,0 |
| 120 | 2 | 20,7 | 28,8 | 26,2 | 36,4 | 29,7 | 41,3 | 34,2 | 47,5 | 40,6 | 56,4 | 47,3 | 65,7 | 51,6 | 71,7 | 57,4 | 79,7 | 65,6 | 91,1 |
| 180 | 3 | 23,2 | 21,5 | 29,4 | 27,2 | 33,2 | 30,7 | 38,2 | 35,4 | 45,5 | 42,1 | 52,9 | 49,0 | 57,8 | 53,5 | 64,2 | 59,4 | 73,4 | 68,0 |
| 240 | 4 | 25,1 | 17,4 | 31,8 | 22,1 | 36,0 | 25,0 | 41,4 | 28,8 | 49,2 | 34,2 | 57,3 | 39,8 | 62,6 | 43,5 | 69,5 | 48,3 | 79,5 | 55,2 |
| 360 | 6 | 28,1 | 13,0 | 35,6 | 16,5 | 40,2 | 18,6 | 46,3 | 21,4 | 55,1 | 25,5 | 64,1 | 29,7 | 70,0 | 32,4 | 77,8 | 36,0 | 88,9 | 41,2 |
| 540 | 9 | 31,4 | 9,7 | 39,8 | 12,3 | 45,0 | 13,9 | 51,8 | 16,0 | 61,6 | 19,0 | 71,7 | 22,1 | 78,3 | 24,2 | 87,0 | 26,9 | 99,4 | 30,7 |
| 720 | 12 | 34,0 | 7,9 | 43,1 | 10,0 | 48,7 | 11,3 | 56,0 | 13,0 | 66,6 | 15,4 | 77,6 | 18,0 | 84,7 | 19,6 | 94,1 | 21,8 | 107,6 | 24,9 |
| 1080 | 18 | 38,0 | 5,9 | 48,1 | 7,4 | 54,4 | 8,4 | 62,6 | 9,7 | 74,5 | 11,5 | 86,7 | 13,4 | 94,7 | 14,6 | 105,2 | 16,2 | 120,2 | 18,5 |
| 1440 | 24 | 41,1 | 4,8 | 52,1 | 6,0 | 58,9 | 6,8 | 67,8 | 7,8 | 80,6 | 9,3 | 93,8 | 10,9 | 102,5 | 11,9 | 113,8 | 13,2 | 130,1 | 15,1 |
| 2880 | 48 | 49,7 | 2,9 | 63,0 | 3,6 | 71,2 | 4,1 | 81,9 | 4,7 | 97,4 | 5,6 | 113,4 | 6,6 | 123,9 | 7,2 | 137,6 | 8,0 | 157,3 | 9,1 |
| 4320 | 72 | 55,6 | 2,1 | 70,4 | 2,7 | 79,5 | 3,1 | 91,5 | 3,5 | 108,9 | 4,2 | 126,7 | 4,9 | 138,4 | 5,3 | 153,7 | 5,9 | 175,7 | 6,8 |
| 5760 | 96 | 60,1 | 1,7 | 76,1 | 2,2 | 86,0 | 2,5 | 99,0 | 2,9 | 117,8 | 3,4 | 137,1 | 4,0 | 149,7 | 4,3 | 166,3 | 4,8 | 190,1 | 5,5 |
| 7200 | 120 | 63,9 | 1,5 | 80,9 | 1,9 | 91,4 | 2,1 | 105,3 | 2,4 | 125,2 | 2,9 | 145,7 | 3,4 | 159,2 | 3,7 | 176,8 | 4,1 | 202,0 | 4,7 |
| 8640 | 144 | 67,2 | 1,3 | 85,0 | 1,6 | 96,1 | 1,9 | 110,6 | 2,1 | 131,6 | 2,5 | 153,2 | 3,0 | 167,3 | 3,2 | 185,8 | 3,6 | 212,4 | 4,1 |
| 10080 | 168 | 70,1 | 1,2 | 88,7 | 1,5 | 100,2 | 1,7 | 115,4 | 1,9 | 137,2 | 2,3 | 159,8 | 2,6 | 174,5 | 2,9 | 193,8 | 3,2 | 221,5 | 3,7 |

Starkniederschlagshöhen und -spenden gemäß KOSTRA-DWD-2020

Rasterfeld 149191

(Zeile 149, Spalte 191)

Örtliche Unsicherheiten in Abhängigkeit von Wiederkehrzeit T und Dauerstufe D

| Dauerstufe D | | Wiederkehrzeit T | | | | | | | | |
|--------------|-----|------------------|-----|-----|-----|------|------|------|------|-------|
| | | 1 a | 2 a | 3 a | 5 a | 10 a | 20 a | 30 a | 50 a | 100 a |
| min | Std | ± % | ± % | ± % | ± % | ± % | ± % | ± % | ± % | ± % |
| 5 | | 14 | 15 | 16 | 17 | 18 | 18 | 19 | 19 | 20 |
| 10 | | 17 | 19 | 20 | 21 | 22 | 23 | 23 | 23 | 24 |
| 15 | | 19 | 21 | 22 | 23 | 24 | 25 | 25 | 26 | 26 |
| 20 | | 19 | 21 | 22 | 24 | 25 | 26 | 26 | 26 | 27 |
| 30 | | 20 | 22 | 23 | 24 | 25 | 26 | 27 | 27 | 28 |
| 45 | | 20 | 22 | 23 | 24 | 25 | 26 | 27 | 27 | 28 |
| 60 | 1 | 19 | 22 | 23 | 24 | 25 | 26 | 26 | 27 | 27 |
| 90 | 1,5 | 18 | 21 | 22 | 23 | 24 | 25 | 25 | 26 | 26 |
| 120 | 2 | 18 | 20 | 21 | 22 | 23 | 24 | 25 | 25 | 26 |
| 180 | 3 | 17 | 19 | 20 | 21 | 22 | 23 | 23 | 24 | 24 |
| 240 | 4 | 16 | 18 | 19 | 20 | 21 | 22 | 22 | 23 | 23 |
| 360 | 6 | 15 | 17 | 18 | 19 | 20 | 21 | 21 | 22 | 22 |
| 540 | 9 | 14 | 16 | 17 | 18 | 19 | 20 | 20 | 20 | 21 |
| 720 | 12 | 14 | 15 | 16 | 17 | 18 | 19 | 19 | 20 | 20 |
| 1080 | 18 | 14 | 15 | 16 | 16 | 17 | 18 | 18 | 19 | 19 |
| 1440 | 24 | 14 | 15 | 16 | 16 | 17 | 18 | 18 | 18 | 19 |
| 2880 | 48 | 16 | 16 | 16 | 17 | 17 | 18 | 18 | 18 | 19 |
| 4320 | 72 | 18 | 17 | 17 | 18 | 18 | 18 | 18 | 19 | 19 |
| 5760 | 96 | 19 | 18 | 18 | 18 | 19 | 19 | 19 | 19 | 19 |
| 7200 | 120 | 20 | 19 | 19 | 19 | 19 | 19 | 20 | 20 | 20 |
| 8640 | 144 | 21 | 20 | 20 | 20 | 20 | 20 | 20 | 20 | 20 |
| 10080 | 168 | 22 | 21 | 21 | 21 | 21 | 21 | 21 | 21 | 21 |

Parameter für abweichende T und D

Lokationsparameter ξ (Xi)

17,27794646

Skalenparameter α (Alpha)

6,38695681

Formparameter κ (Kappa)

-0,1

1. Koutsoyiannis-Parameter θ (Theta)

0,01758656

2. Koutsoyiannis-Parameter η (Eta)

0,72660452

Parameter für dauerstufenübergreifende Extremwertschätzung nach KOUTSOYIANNIS et al. 1998.

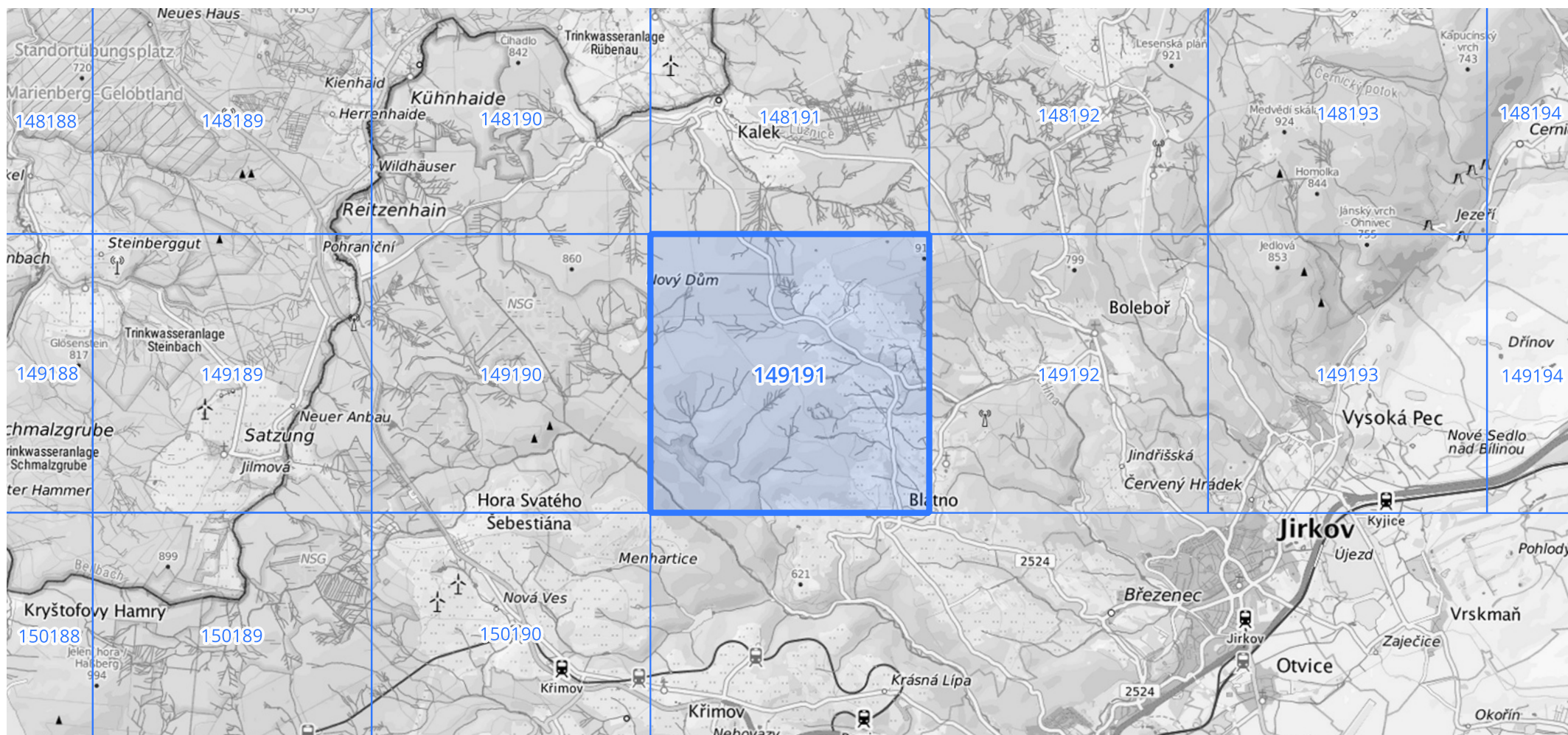
Siehe auch Anwendungshilfe zu KOSTRA-DWD-2020 des Deutschen Wetterdienstes.

Starkniederschlagshöhen und -spenden gemäß KOSTRA-DWD-2020

Rasterfeld 149191

(Zeile 149, Spalte 191)

Übersichtskarte des Rasterfeldes 149191, M 1 : 100 000



Quelle Rasterdaten: KOSTRA-DWD-2020 des Deutschen Wetterdienstes, Stand 12/2022.

Seite 3 von 3

Kartendarstellung: © Bundesamt für Kartographie und Geodäsie (2023), Datenquellen: https://sgx.geodatenzentrum.de/web_public/gdz/datenquellen/Datenquellen_TopPlusOpen.html

Für die Richtigkeit und Aktualität der Angaben wird keine Gewähr übernommen. Erstellt 01/2023.